

Katowice, dn. 2026-05-19

Orange Polska S.A.
Al. Jerozolimskie 160
02-326 Warszawa

Pełnomocnik: f
Pełnomocnictwo numer
z dnia: 2026-05-11

dane do korespondencji:
NetWorks Sp. z o.o.
ul. Józefa Piłsudskiego 3
00-728 Warszawa

AE:PL-75331-40483-VAGTH-20

Starosta Oświęcimski
Starostwo Powiatowe w Oświęcimiu
ul. St. Wyspiańskiego 10
32-602 Oświęcim
AE:PL-17329-58416-HCEEU-26

Dotyczy: ustawowego obowiązku, wynikającego z art. 152 ust. 1 i ust. 7 w związku z ust. 6 pkt 1c ustawy z dnia 27 kwietnia 2001r – Prawo ochrony środowiska (Dz.U. 2024 poz. 54).

Działając z upoważnienia Orange Polska S.A. z siedzibą Al. Jerozolimskie 160, 02-326 Warszawa, **informuję o zmianie danych w zakresie wielkości i rodzaju emisji** dla instalacji radiokomunikacyjnej **9489 (31682N!) JAWISZOWICE (KBI_BRZESZCZE_JAWISZOWICE)** zlokalizowanej w miejscowości JAWISZOWICE, ul. MICKIEWICZA 32. W stosunku do informacji zawartej w zgłoszeniu realizowanym dla tej instalacji w trybie art. 152 ust. 1 i 5 ustawy z dnia 27 kwietnia 2001r – Prawo ochrony środowiska (Dz.U. 2024 poz. 54), dane ulegają zmianie w następujący sposób:

9. Wielkość i rodzaj emisji²⁾:

Pole elektromagnetyczne. EIRP poszczególnych anten zostało podane w pkt 12, tj.

| Lp. | Równoważna moc promieniowana izotropowo (EIRP) [W] |
|-----|--|
| 1. | 29001 |
| 2. | 80380 |
| 3. | 29001 |
| 4. | 80380 |
| 5. | 29001 |
| 6. | 80380 |

12. Szczegółowe dane, odpowiednio do rodzaju instalacji, zgodne z wymaganiami określonymi w załączniku nr 2 do Rozporządzenia:

| Lp. | 1) | 2) | 3) | 4) | 5) | |
|-----|--------------------------|---|--|--|------------|---|
| Lp. | Współrzędne geograficzne | Częstotliwość lub zakresy częstotliwości pracy instalacji [MHz] | Wysokość środka elektrycznego anteny [m n.p.t] | Równoważna moc promieniowana izotropowo (EIRP) [W] | Azymut [°] | Kąt pochylenia lub zakresy kątów pochylenia [°] |
| 1. | 19°8'0.8" 49°57'57.2" | 800/900/1800/ 2100/2600 | 24 | 29001 | 10 | 2-12/2-12/ 2-12/2-12/ 2-12 |
| 2. | 19°8'0.8" 49°57'57.2" | 3600 | 24 | 80380 | 10 | -2-13 |
| 3. | 19°8'0.8" 49°57'57.1" | 800/900/1800/ 2100/2600 | 24 | 29001 | 120 | 2-12/2-12/ 2-12/2-12/ 2-12 |
| 4. | 19°8'0.8" 49°57'57.1" | 3600 | 24 | 80380 | 120 | -2-13 |
| 5. | 19°8'0.7" 49°57'57.1" | 800/900/1800/ 2100/2600 | 24 | 29001 | 230 | 2-12/2-12/ 2-12/2-12/ 2-12 |
| 6. | 19°8'0.7" 49°57'57.1" | 3600 | 24 | 80380 | 230 | -2-13 |

*) tolerancja azymutu od -10° do + 10°.

Informuję, iż dokonane zmiany w zakresie wielkości i rodzaju emisji przedmiotowej instalacji nie powodują zmiany instalacji w sposób istotny zgodnie z art. 3 pkt 7 ustawy Poś.

W załączniku przesyłam:

1. Pełnomocnictwo
2. Kopia potwierdzenia wniesienia opłaty skarbowej.
3. Sprawozdanie z pomiarów pól elektromagnetycznych wykonanych dla celów ochrony środowiska.

Otrzymują:

1. a/a
2. adresat



Signed by /
Podpisano przez:

Magdalena Patrycja
Małek

Date / Data: 2026-
05-19 22:31



NetWorks Sp. z o.o.
Laboratorium Badań Środowiskowych
ul. Józefa Piłsa Dziekońskiego 3
00-728 Warszawa
e-mail: Laboratorium@networks.pl



AB 419

S P R A W O Z D A N I E 2552/2026/OS
Z POMIARÓW PÓL ELEKTROMAGNETYCZNYCH
WYKONANYCH DLA POTRZEB OCHRONY ŚRODOWISKA

Badany obiekt: Instalacja radiokomunikacyjna Orange Polska S.A.

Numer i nazwa: 9489 (31682N!) JAWISZOWICE (KBI_BRZESZCZE_JAWISZOWICE)

Adres: JAWISZOWICE, MICKIEWICZA 32, Powiat oświęcimski, WOJ. MAŁOPOLSKIE

Data wykonania pomiarów: 2026-05-14

Sprawozdanie z badań bez pisemnej zgody laboratorium nie może być powielane inaczej niż w całości.
Wyniki przedstawione w niniejszym sprawozdaniu odnoszą się wyłącznie do badanego obiektu i do warunków i konfiguracji urządzeń w dniu wykonywania pomiarów.

1. Właściciel badanego obiektu:

Orange Polska S.A., Al. Jerozolimskie 160, 02-326 Warszawa

2. Zleceniodawca:

Orange Polska S.A., Al. Jerozolimskie 160, 02-326 Warszawa

3. Przedstawiciel zleceniodawcy:

NetWorks Sp. z o.o.

4. Zakres zlecenia:

Wykonanie badania i opracowanie sprawozdania z pomiarów natężenia pola elektrycznego i pola magnetycznego dla instalacji radiokomunikacyjnej Orange Polska S.A. zlokalizowanej w miejscowości JAWISZOWICE, MICKIEWICZA 32.

5. Cel zlecenia:

Wykonanie pomiarów pól elektromagnetycznych w otoczeniu instalacji radiokomunikacyjnej 9489 (31682N!) JAWISZOWICE (KBI_BRZESZCZE_JAWISZOWICE) w odniesieniu do wymagań określonych w *Rozporządzeniu Ministra Klimatu z dnia 17 lutego 2020 r. w sprawie sposobów sprawdzania dotrzymania dopuszczalnych poziomów pól elektromagnetycznych w środowisku (Dz.U. 2022 poz. 2630)*.

6. Pomiary zostały wykonane przez:

Podstawek Łukasz
Surzyn Dawid

7. Informacje o źródłach pól elektromagnetycznych**7.1. Sposób identyfikacji badanych źródeł pól elektromagnetycznych**

Identyfikacji źródeł i parametrów technicznych dokonano na podstawie analizy dokumentacji dotyczącej zlecenia oraz obserwacji miejsca wykonywania badań.

7.2. Opis miejsca zainstalowania anten i urządzeń technicznych. Opis obiektu badań i jego otoczenia

Instalacja radiokomunikacyjna zlokalizowana jest na dachu. Anteny zawieszono na maszcie usytowanym na dachu budynku. Urządzenia sterujące oraz zasilające zainstalowano w szafie outdoor na dachu budynku. Wokół instalacji znajduje się miasto, tereny zielone i zabudowa usługowa- magazyny.

Instalacja radiokomunikacyjna jest obiektem bezobsługowym. Okresowe stanowiska pracy związane są z prowadzonymi w zależności od potrzeb konserwacjami, przeglądami, strojeniem i naprawami.

7.3. Parametry techniczne źródła pola elektromagnetycznego

Dane przedstawiające maksymalne parametry pracy instalacji przekazane przez zleceniodawcę:

Parametry systemu nadawczo-odbiorczego:

| Charakterystyka promieniowania | | Kierunkowa | | | | | |
|---------------------------------|--|-------------------------|--------------|------------|--|---|--|
| Rzeczywisty czas pracy [h/dobę] | | 24 | | | | | |
| Warunki pracy | | Znamionowe | | | | | |
| Rodzaj wytwarzanego pola | | Stacjonarne | | | | | |
| Lp. | Częstotliwość lub zakresy częstotliwości pracy [MHz] | Typ/producent anteny | liczba anten | Azymut [°] | kąt pochylecia [°] | Wysokość środka elektrycznego anteny [m n.p.t.] | Równoważna moc promieniowana izotropowo (EIRP) [W] |
| 1 | 800/900/1800/2100/2600 | ASI4518R39v07 Huawei | 1 | 10 | 2-12**/2-12**/2-12**/ 2-12**/2-12** | 24 | 29001 |
| 2 | 3600 | AAU5356 Huawei | 1 | 10 | -2-13** | 24 | 80380 |
| 3 | 800/900/1800/2100/2600 | ASI4518R39v07 Huawei | 1 | 120 | 2-12**/2-12**/2-12**/ 2-12**/2-12** | 24 | 29001 |
| 4 | 3600 | AAU5356 Huawei | 1 | 120 | -2-13** | 24 | 80380 |
| 5 | 800/900/1800/2100/2600 | ASI4518R39v07 Huawei | 1 | 230 | 2-12**/2-12**/2-12**/ 2-12**/2-12** | 24 | 29001 |
| 6 | 3600 | AAU5356 Huawei | 1 | 230 | -2-13** | 24 | 80380 |

* wskazane wartości kąta pochylecia anten, zgodnie z informacją uzyskaną od zleceniodawcy, są wartościami stałymi

** pomiary wykonano zgodnie z pkt 13., ppkt 2 załącznika do Rozporządzenia Ministra Klimatu z dnia 17 lutego 2020 r. (Dz. U. 2022, poz. 2630).

Transmisja realizowana drogą kablową.

7.4 Inne źródła pól elektromagnetycznych

Na podstawie informacji otrzymanych od użytkownika oraz obserwacji otoczenia miejsca wykonywania pomiarów stwierdzono występowanie innych źródeł pola-EM, pracujących w systemach: telefonii komórkowej (800MHz-3800MHz), linii radiowych (5GHz-40GHz), które istotnie wpływają na wyniki pomiarów.

8. Opis pomiarów

8.1. Metoda badań

Zgodna z rozporządzeniem Ministra Klimatu z dnia 17 lutego 2020 r. w sprawie sposobów sprawdzania dotrzymania dopuszczalnych poziomów pól elektromagnetycznych w środowisku (Dz.U. 2022 poz. 2630), określona w pkt 25 ppkt 1 załącznika do niniejszego rozporządzenia.

8.2. Termin pomiarów i warunki środowiskowe

Podczas wykonywania pomiarów pól elektromagnetycznych nie występowały opady atmosferyczne. Wyniki pomiaru parametrów pogodowych przedstawia poniższa tabela:

| Data [rrrr-mm-dd] | Godzina [hh:mm-hh:mm] | Warunki środowiskowe | | | |
|-------------------|-----------------------|----------------------|--------------|-------------------------|--------------|
| | | Temperatura [°C] | | Wilgotność względna [%] | |
| 2026-05-14 | 08:05-09:30 | Przed pomiarem | Po pomiarach | Przed pomiarem | Po pomiarach |
| | | 11.9 | 12.8 | 66.6 | 61.4 |

Przedstawione wyżej warunki środowiskowe, występujące podczas wykonywania pomiarów pól elektromagnetycznych, są zgodne ze specyfikacją techniczną użytego zestawu pomiarowego.

8.3. Warunki pracy urządzeń nadawczych

Podczas pomiarów w przypadku uzyskania wyniku pomiaru szerokopasmowego wykonanego zastosowaną metodą, dla zakresów częstotliwości od 10 MHz do 300 GHz, powiększonego o rozszerzoną niepewność pomiaru U dla współczynnika rozszerzenia $k = 2$ przekraczającego 70% najniższej dopuszczalnej wartości składowej elektrycznej lub magnetycznej pola dla objętych pomiarami zakresów częstotliwości, uwzględnia się poprawki pomiarowe przekazane przez zleceniodawcę, umożliwiające uwzględnienie maksymalnych parametrów pracy instalacji zgodnie z pkt 7 załącznika do Rozporządzenia Ministra Klimatu z dnia 17 lutego 2020 r. w sprawie sposobów sprawdzania dotrzymania dopuszczalnych

Sprawozdanie z badań bez pisemnej zgody laboratorium nie może być powielane inaczej niż w całości.

Wyniki przedstawione w niniejszym sprawozdaniu odnoszą się wyłącznie do badanego obiektu i do warunków i konfiguracji urządzeń w dniu wykonywania pomiarów.

poziomów pól elektromagnetycznych w środowisku (Dz. U. 2022, poz. 2630) zaznaczając, że wymagane jest wykonanie pomiaru z wykorzystaniem miernika selektywnego. W przypadku uzyskania wyniku pomiaru szerokopasmowego wykonanego zastosowaną metodą, dla zakresów częstotliwości od 10 MHz do 300 GHz, powiększonego o rozszerzoną niepewność pomiaru U dla współczynnika rozszerzenia $k = 2$ nieprzekraczającego 70% najniższej dopuszczalnej wartości składowej elektrycznej lub magnetycznej pola dla objętych pomiarami zakresów częstotliwości, nie uwzględnia się poprawek pomiarowych.

8.4. Wyposażenie pomiarowe

Zestaw pomiarowy służący do pomiaru natężenia składowej elektrycznej pola elektromagnetycznego złożony z szerokopasmowego miernika i sondy pomiarowej:

| Oznaczenie miernika | Producent | Model | Numer fabryczny | Oznaczenie sondy | Producent | Model | Numer fabryczny |
|---------------------|----------------------------|---|-----------------|------------------|----------------------------|----------------|-----------------|
| MF-03 | Narda Safety Test Solution | Miernik pól elektromagnetycznych Narda FieldMan | B-0121 | SF-05 | Narda Safety Test Solution | Sonda EFD-6091 | A-0074 |

Mierniki natężenia pola elektromagnetycznego podlegają okresowemu sprawdzeniu zgodnie z procedurą wewnętrzną P-03 i PB-01. Świadectwo wzorcowania zestawu pomiarowego z dnia 10 grudnia 2025 o numerze LWIMP/W/523/25 wydane przez Politechnikę Wrocławską. Data następnego wzorcowania: 9 grudnia 2027 (zgodnie z procedurą wewnętrzną P-03).

Termohigrometr:

| Oznaczenie: | TH-38 | Producent: | TESTO | Model: | Termohigrometr TESTO 625 |
|-------------|-------|------------|-------|--------|--------------------------|
|-------------|-------|------------|-------|--------|--------------------------|

Data następnego wzorcowania: 20 lutego 2028 (zgodnie z procedurą wewnętrzną P-03).

Dalmierz:

| Oznaczenie | Producent | Typ | Numer seryjny | Nr świadectwa wzorcowania | Data świadectwa wzorcowania |
|------------|-----------|---------------------------|---------------|-------------------------------|-----------------------------|
| D-06 | Leica | Dalmierz Leica Disto X310 | 842350228 | Z3- Z32.4180.34.2025.826.1 | 26 marca 2025 |

Data następnego wzorcowania: 26 marca 2035 (zgodnie z procedurą wewnętrzną P-03).

Odbiornik GNSS:

| Odbiornik GNSS wbudowany w miernik natężenia pola elektromagnetycznego użyty podczas pomiarów | Producent | Model |
|---|-----------|---------|
| | UBlox | NEO-M8T |

Odbiorniki podlegają okresowemu sprawdzeniu zgodnie z procedurą wewnętrzną P-03.

9. Wyniki pomiarów

Pomiary wykonano na terenach przeznaczonych pod zabudowę mieszkaniową w obszarze pomiarowym, w którym na podstawie uprzednio przeprowadzonych obliczeń (OOP* 657/2026/RP), stwierdzono występowanie w danych zakresach częstotliwości pól elektromagnetycznych o poziomach zbliżonych do poziomów dopuszczalnych, określonych w przepisach wydanych na podstawie art. 122 ust. 1 ustawy z dnia 27 kwietnia 2001 r. – Prawo ochrony środowiska.

*OOP - Obligatoryjny Obszar Pomiarowy - opracowanie przedstawia przewidywane rozkłady pól elektromagnetycznych w otoczeniu instalacji radiokomunikacyjnej.

Pole elektryczne

| Nr pionu | Opis umiejscowienia pionu (punktu) pomiarowego | Wysokość pomiaru [m] | Zmierzona wartość natężenia pola elektrycznego E [V/m] ^{4,5} | Wartość natężenia pola elektrycznego powiększona o niepewność pomiaru ⁴ E [V/m] | Wskaźnikowa wartość poziomu emisji pól elektromagnetycznych WMe ³ | Współrzędne geograficzne pionu (punktu) pomiarowego ² |
|----------|--|----------------------|---|--|--|--|
| 1 | GKP w odległości poziomej 35m od anteny sektorowej az. 10° | 2.0 | 1.4 | 2.1 | 0.07 | 49°57'58.3" 19°8'1.3" |
| 2 | GKP w odległości poziomej 59m od anteny sektorowej az. 10° | 2.0 | 1.5 | 2.2 | 0.08 | 49°57'59.0" 19°8'1.3" |

Sprawozdanie z badań bez pisemnej zgody laboratorium nie może być powielane inaczej niż w całości.

Wyniki przedstawione w niniejszym sprawozdaniu odnoszą się wyłącznie do badanego obiektu i do warunków i konfiguracji urządzeń w dniu wykonywania pomiarów.

| | | | | | | |
|----|---|---------|------------|-----|------|---------------------------|
| 3 | GKP w odległości poziomej 27m od anteny sektorowej az. 120° | 2.0 | 1.8 | 2.7 | 0.1 | 49°57'56.5" 19°8'2.0" |
| 4 | GKP w odległości poziomej 60m od anteny sektorowej az. 120° | 2.0 | 1.8 | 2.7 | 0.1 | 49°57'56.2" 19°8'3.5" |
| 5 | GKP w odległości poziomej 23m od anteny sektorowej az. 230° | 2.0 | 1.8 | 2.7 | 0.1 | 49°57'56.5" 19°7'59.9" |
| 6 | GKP w odległości poziomej 59m od anteny sektorowej az. 230° | 2.0 | 1.8 | 2.7 | 0.1 | 49°57'55.8" 19°7'58.4" |
| 7 | GKP w odległości poziomej 89m od anteny sektorowej az. 120° | 2.0 | 1.6 | 2.4 | 0.08 | 49°57'55.8" 19°8'4.6" |
| 8 | GKP w odległości poziomej 136m od anteny sektorowej az. 120° | 2.0 | 2.5 | 3.7 | 0.13 | 49°57'55.1" 19°8'6.7" |
| 9 | GKP w odległości poziomej 95m od anteny sektorowej az. 230° | 2.0 | 2.0 | 3 | 0.11 | 49°57'55.1" 19°7'57.0" |
| 10 | GKP w odległości poziomej 134m od anteny sektorowej az. 230° | 2.0 | 3.3 | 4.9 | 0.17 | 49°57'54.4" 19°7'55.6" |
| 11 | GKP w odległości poziomej 79m od anteny sektorowej az. 10° | 2.0 | 1.8 | 2.7 | 0.1 | 49°57'59.8" 19°8'1.7" |
| 12 | GKP w odległości poziomej 103m od anteny sektorowej az. 10° | 0.3-2.0 | <1.0* | 1.5 | 0.05 | 49°58'0.5" 19°8'1.7" |
| 13 | GKP w odległości poziomej 133m od anteny sektorowej az. 10° | 2.0 | 3.0 | 4.4 | 0.16 | 49°58'1.6" 19°8'2.0" |
| 14 | PKP na az. 24° w odległości poziomej 62m od anteny sektorowej az. 10° | 2.0 | 1.3 | 1.9 | 0.07 | 49°57'59.0" 19°8'2.0" |
| 15 | PKP na az. 38° w odległości poziomej 53m od anteny sektorowej az. 10° | 2.0 | 1.5 | 2.2 | 0.08 | 49°57'58.3" 19°8'2.4" |
| 16 | PKP na az. 53° w odległości poziomej 57m od anteny sektorowej az. 10° | 2.0 | 1.3 | 1.9 | 0.07 | 49°57'58.3" 19°8'3.1" |
| 17 | PKP na az. 77° w odległości poziomej 39m od anteny sektorowej az. 120° | 2.0 | 1.4 | 2.1 | 0.07 | 49°57'57.2" 19°8'2.8" |
| 18 | PKP na az. 92° w odległości poziomej 42m od anteny sektorowej az. 120° | 2.0 | 1.4 | 2.1 | 0.07 | 49°57'56.9" 19°8'2.8" |
| 19 | PKP na az. 106° w odległości poziomej 44m od anteny sektorowej az. 120° | 2.0 | 1.5 | 2.2 | 0.08 | 49°57'56.5" 19°8'3.1" |
| 20 | PKP na az. 134° w odległości poziomej 59m od anteny sektorowej az. 120° | 0.3-2.0 | <1.0* | 1.5 | 0.05 | 49°57'55.8" 19°8'3.1" |
| 21 | PKP na az. 148° w odległości poziomej 64m od anteny sektorowej az. 120° | 0.3-2.0 | <1.0* | 1.5 | 0.05 | 49°57'55.4" 19°8'2.4" |
| 22 | PKP na az. 163° w odległości poziomej 56m od anteny sektorowej az. 120° | 0.3-2.0 | <1.0* | 1.5 | 0.05 | 49°57'55.4" 19°8'1.7" |
| 23 | PKP na az. 187° w odległości poziomej 53m od anteny sektorowej az. 230° | 0.3-2.0 | <1.0* | 1.5 | 0.05 | 49°57'55.4" 19°8'0.2" |

Sprawozdanie z badań bez pisemnej zgody laboratorium nie może być powielane inaczej niż w całości.

Wyniki przedstawione w niniejszym sprawozdaniu odnoszą się wyłącznie do badanego obiektu i do warunków i konfiguracji urządzeń w dniu wykonywania pomiarów.

| | | | | | | |
|----|---|---------|-------|-----|------|---------------------------|
| 24 | PKP na az. 202° w odległości poziomej 55m od anteny sektorowej az. 230° | 2.0 | 1.3 | 1.9 | 0.07 | 49°57'55.4" 19°7'59.5" |
| 25 | PKP na az. 216° w odległości poziomej 45m od anteny sektorowej az. 230° | 2.0 | 1.4 | 2.1 | 0.07 | 49°57'55.8" 19°7'59.5" |
| 26 | PKP na az. 244° w odległości poziomej 59m od anteny sektorowej az. 230° | 2.0 | 1.3 | 1.9 | 0.07 | 49°57'56.2" 19°7'58.1" |
| 27 | PKP na az. 258° w odległości poziomej 39m od anteny sektorowej az. 230° | 2.0 | 1.4 | 2.1 | 0.07 | 49°57'56.9" 19°7'58.8" |
| 28 | PKP na az. 273° w odległości poziomej 52m od anteny sektorowej az. 230° | 0.3-2.0 | <1.0* | 1.5 | 0.05 | 49°57'57.2" 19°7'58.1" |
| 29 | PKP na az. 327° w odległości poziomej 59m od anteny sektorowej az. 10° | 0.3-2.0 | <1.0* | 1.5 | 0.05 | 49°57'58.7" 19°7'59.2" |
| 30 | PKP na az. 342° w odległości poziomej 65m od anteny sektorowej az. 10° | 0.3-2.0 | <1.0* | 1.5 | 0.05 | 49°57'59.0" 19°7'59.9" |
| 31 | PKP na az. 356° w odległości poziomej 58m od anteny sektorowej az. 10° | 0.3-2.0 | <1.0* | 1.5 | 0.05 | 49°57'59.0" 19°8'0.6" |
| 32 | DPP - na balkonie mieszkania 1, na parterze, Mickiewicza 30 klatka 2, Brzeszcze | 2.0 | 1.8 | 2.7 | 0.1 | 49°58'0.1" 19°8'1.3" |
| 33 | DPP - w uchylonym oknie biura, piętro 2/2, Mickiewicza 36, Brzeszcze | 0.3-2.0 | <1.0* | 1.5 | 0.05 | 49°57'57.2" 19°8'0.6" |
| 34 | DPP - w uchylonym oknie biura, piętro 2/2, Mickiewicza 36, Brzeszcze | 0.3-2.0 | <1.0* | 1.5 | 0.05 | 49°57'57.6" 19°8'1.0" |
| 35 | DPP - Wewnątrz magazynu, Mickiewicza 36, Brzeszcze | 0.3-2.0 | <1.0* | 1.5 | 0.05 | 49°57'58.0" 19°7'59.9" |
| 36 | DPP - Wewnątrz magazynu, Mickiewicza 36, Brzeszcze | 0.3-2.0 | <1.0* | 1.5 | 0.05 | 49°57'56.9" 19°7'58.1" |
| 37 | DPP - w płaszczyźnie otworu okiennego Warsztatu samochodowego, na parterze, Mickiewicza 36, Brzeszcze | 2.0 | 1.8 | 2.7 | 0.1 | 49°57'55.4" 19°8'4.9" |

Pole magnetyczne (wyznaczone na podstawie pomiaru wartości natężenia pola elektrycznego)

| Nr pionu | Opis umiejscowienia pionu (punktu) pomiarowego | Wysokość pomiaru [m] | Wartość natężenia pola magnetycznego H [A/m] ¹ | Wartość natężenia pola magnetycznego powiększona o niepewność pomiaru ⁴ H [A/m] | Wskaźnikowa wartość poziomu emisji pól elektromagnetycznych WM _H ³ | Współrzędne geograficzne pionu (punktu) pomiarowego ² |
|----------|---|----------------------|---|--|--|--|
| 1 | GKP w odległości poziomej 35m od anteny sektorowej az. 10° | 2.0 | 0.004 | 0.005 | 0.08 | 49°57'58.3" 19°8'1.3" |
| 2 | GKP w odległości poziomej 59m od anteny sektorowej az. 10° | 2.0 | 0.004 | 0.006 | 0.08 | 49°57'59.0" 19°8'1.3" |
| 3 | GKP w odległości poziomej 27m od anteny sektorowej az. 120° | 2.0 | 0.005 | 0.007 | 0.1 | 49°57'56.5" 19°8'2.0" |

Sprawozdanie z badań bez pisemnej zgody laboratorium nie może być powielane inaczej niż w całości.

Wyniki przedstawione w niniejszym sprawozdaniu odnoszą się wyłącznie do badanego obiektu i do warunków i konfiguracji urządzeń w dniu wykonywania pomiarów.

| | | | | | | |
|----|---|---------|--------------|-------|------|---------------------------|
| 4 | GKP w odległości poziomej 60m od anteny sektorowej az. 120° | 2.0 | 0.005 | 0.007 | 0.1 | 49°57'56.2" 19°8'3.5" |
| 5 | GKP w odległości poziomej 23m od anteny sektorowej az. 230° | 2.0 | 0.005 | 0.007 | 0.1 | 49°57'56.5" 19°7'59.9" |
| 6 | GKP w odległości poziomej 59m od anteny sektorowej az. 230° | 2.0 | 0.005 | 0.007 | 0.1 | 49°57'55.8" 19°7'58.4" |
| 7 | GKP w odległości poziomej 89m od anteny sektorowej az. 120° | 2.0 | 0.004 | 0.006 | 0.09 | 49°57'55.8" 19°8'4.6" |
| 8 | GKP w odległości poziomej 136m od anteny sektorowej az. 120° | 2.0 | 0.007 | 0.01 | 0.13 | 49°57'55.1" 19°8'6.7" |
| 9 | GKP w odległości poziomej 95m od anteny sektorowej az. 230° | 2.0 | 0.005 | 0.008 | 0.11 | 49°57'55.1" 19°7'57.0" |
| 10 | GKP w odległości poziomej 134m od anteny sektorowej az. 230° | 2.0 | 0.009 | 0.013 | 0.18 | 49°57'54.4" 19°7'55.6" |
| 11 | GKP w odległości poziomej 79m od anteny sektorowej az. 10° | 2.0 | 0.005 | 0.007 | 0.1 | 49°57'59.8" 19°8'1.7" |
| 12 | GKP w odległości poziomej 103m od anteny sektorowej az. 10° | 0.3-2.0 | <0.003* | 0.004 | 0.05 | 49°58'0.5" 19°8'1.7" |
| 13 | GKP w odległości poziomej 133m od anteny sektorowej az. 10° | 2.0 | 0.008 | 0.012 | 0.16 | 49°58'1.6" 19°8'2.0" |
| 14 | PKP na az. 24° w odległości poziomej 62m od anteny sektorowej az. 10° | 2.0 | 0.003 | 0.005 | 0.07 | 49°57'59.0" 19°8'2.0" |
| 15 | PKP na az. 38° w odległości poziomej 53m od anteny sektorowej az. 10° | 2.0 | 0.004 | 0.006 | 0.08 | 49°57'58.3" 19°8'2.4" |
| 16 | PKP na az. 53° w odległości poziomej 57m od anteny sektorowej az. 10° | 2.0 | 0.003 | 0.005 | 0.07 | 49°57'58.3" 19°8'3.1" |
| 17 | PKP na az. 77° w odległości poziomej 39m od anteny sektorowej az. 120° | 2.0 | 0.004 | 0.005 | 0.08 | 49°57'57.2" 19°8'2.8" |
| 18 | PKP na az. 92° w odległości poziomej 42m od anteny sektorowej az. 120° | 2.0 | 0.004 | 0.005 | 0.08 | 49°57'56.9" 19°8'2.8" |
| 19 | PKP na az. 106° w odległości poziomej 44m od anteny sektorowej az. 120° | 2.0 | 0.004 | 0.006 | 0.08 | 49°57'56.5" 19°8'3.1" |
| 20 | PKP na az. 134° w odległości poziomej 59m od anteny sektorowej az. 120° | 0.3-2.0 | <0.003* | 0.004 | 0.05 | 49°57'55.8" 19°8'3.1" |
| 21 | PKP na az. 148° w odległości poziomej 64m od anteny sektorowej az. 120° | 0.3-2.0 | <0.003* | 0.004 | 0.05 | 49°57'55.4" 19°8'2.4" |
| 22 | PKP na az. 163° w odległości poziomej 56m od anteny sektorowej az. 120° | 0.3-2.0 | <0.003* | 0.004 | 0.05 | 49°57'55.4" 19°8'1.7" |
| 23 | PKP na az. 187° w odległości poziomej 53m od anteny sektorowej az. 230° | 0.3-2.0 | <0.003* | 0.004 | 0.05 | 49°57'55.4" 19°8'0.2" |
| 24 | PKP na az. 202° w odległości poziomej 55m od anteny sektorowej az. 230° | 2.0 | 0.003 | 0.005 | 0.07 | 49°57'55.4" 19°7'59.5" |
| 25 | PKP na az. 216° w odległości poziomej 45m od anteny sektorowej az. 230° | 2.0 | 0.004 | 0.005 | 0.08 | 49°57'55.8" 19°7'59.5" |
| 26 | PKP na az. 244° w odległości poziomej 59m od anteny sektorowej az. 230° | 2.0 | 0.003 | 0.005 | 0.07 | 49°57'56.2" 19°7'58.1" |
| 27 | PKP na az. 258° w odległości poziomej 39m od anteny sektorowej az. 230° | 2.0 | 0.004 | 0.005 | 0.08 | 49°57'56.9" 19°7'58.8" |
| 28 | PKP na az. 273° w odległości poziomej 52m od anteny sektorowej az. 230° | 0.3-2.0 | <0.003* | 0.004 | 0.05 | 49°57'57.2" 19°7'58.1" |

Sprawozdanie z badań bez pisemnej zgody laboratorium nie może być powielane inaczej niż w całości.

Wyniki przedstawione w niniejszym sprawozdaniu odnoszą się wyłącznie do badanego obiektu i do warunków i konfiguracji urządzeń w dniu wykonywania pomiarów.

| | | | | | | |
|----|---|---------|---------|-------|------|---------------------------|
| 29 | PKP na az. 327° w odległości poziomej 59m od anteny sektorowej az. 10° | 0.3-2.0 | <0.003* | 0.004 | 0.05 | 49°57'58.7" 19°7'59.2" |
| 30 | PKP na az. 342° w odległości poziomej 65m od anteny sektorowej az. 10° | 0.3-2.0 | <0.003* | 0.004 | 0.05 | 49°57'59.0" 19°7'59.9" |
| 31 | PKP na az. 356° w odległości poziomej 58m od anteny sektorowej az. 10° | 0.3-2.0 | <0.003* | 0.004 | 0.05 | 49°57'59.0" 19°8'0.6" |
| 32 | DPP - na balkonie mieszkania 1, na parterze, Mickiewicza 30 klatka 2, Brzeszcze | 2.0 | 0.005 | 0.007 | 0.1 | 49°58'0.1" 19°8'1.3" |
| 33 | DPP - w uchylonym oknie biura, piętro 2/2, Mickiewicza 36, Brzeszcze | 0.3-2.0 | <0.003* | 0.004 | 0.05 | 49°57'57.2" 19°8'0.6" |
| 34 | DPP - w uchylonym oknie biura, piętro 2/2, Mickiewicza 36, Brzeszcze | 0.3-2.0 | <0.003* | 0.004 | 0.05 | 49°57'57.6" 19°8'1.0" |
| 35 | DPP - Wewnątrz magazynu, Mickiewicza 36, Brzeszcze | 0.3-2.0 | <0.003* | 0.004 | 0.05 | 49°57'58.0" 19°7'59.9" |
| 36 | DPP - Wewnątrz magazynu, Mickiewicza 36, Brzeszcze | 0.3-2.0 | <0.003* | 0.004 | 0.05 | 49°57'56.9" 19°7'58.1" |
| 37 | DPP - w płaszczyźnie otworu okiennego Warsztatu samochodowego, na parterze, Mickiewicza 36, Brzeszcze | 2.0 | 0.005 | 0.007 | 0.1 | 49°57'55.4" 19°8'4.9" |

GKP – Główny Kierunek Pomiarowy

DPP – Dodatkowy Pion Pomiarowy

PKP – Pomocniczy Kierunek Pomiarowy

¹ wyniki oznaczone * są wynikami poniżej czułości zestawu pomiarowego i są wynikami spoza zakresu akredytacji. Do obliczenia wyniku skorygowanego przyjęto wartość skorelowaną z rzeczywistym wynikiem pomiaru - dolną granicę akredytowanego zakresu pomiarowego metody

² współrzędne geograficzne pozyskane metodą pomiaru bezpośredniego

³ do wyznaczenia wartości wskaźnikowej W_{ME} i W_{MH} przyjęto na podstawie uzgodnień z klientem oraz rozpoznania źródeł, jako wartości dopuszczalne pola elektrycznego i magnetycznego odpowiednio 28 V/m i 0,073 A/m.

⁴ do wyznaczenia niepewności dla wyników poniżej czułości zestawu pomiarowego, przyjęto niepewność dla minimalnej wartości z zakresu pomiarowego.

⁵ maksymalna wartość chwilowa

Niepewność oszacowano zgodnie z dokumentem P-03 „Procedura nadzoru nad wyposażeniem” w postaci niepewności rozszerzonej wynikającej z niepewności standardowej pomnożonej przez współczynnik rozszerzenia $k=2$.

Całkowita szacowana niepewność rozszerzona składowej E wynosi odpowiednio: 48.1% dla częstotliwości do 40 GHz

Pomiarów nie wykonano:

| Oznaczenie braku dostępu | Opis umiejscowienia |
|--------------------------|--|
| A | W mieszkaniach nr 1,2,3,4 pod adresem Mickiewicza 30, klatka 1, z powodu braku mieszkańców |
| B | W mieszkaniach nr 2,3,4 pod adresem Mickiewicza 30, klatka 2, z powodu braku mieszkańców |
| C | W budynku mieszkalnym pod adresem Mickiewicza 28, z powodu braku mieszkańców |

W miejscach, w których nie udało się przeprowadzić pomiarów z powodu nieobecności mieszkańców, Laboratorium Badań Środowiskowych NetWorks podejmuje próbę ich wykonania podczas kolejnych badań poziomu pól elektromagnetycznych prowadzonych na potrzeby ochrony środowiska.

Umiejscowienie pionów (punktów) pomiarowych przedstawiono w załączniku nr 2 do niniejszego sprawozdania.

10. Omówienie wyników pomiarów

W związku z tym, że żadna z wartości zmierzonych, udokumentowanych w tabelach w pkt. 9, uzyskanych w skutek zastosowania pomiaru szerokopasmowego, powiększonego o rozszerzoną niepewność pomiaru U dla współczynnika rozszerzenia $k = 2$ nie przekroczyła 70% najniższej dopuszczalnej wartości składowej elektrycznej lub magnetycznej pola dla objętych pomiarami zakresów częstotliwości, nie uwzględnia się poprawek pomiarowych.

Sprawozdanie z badań bez pisemnej zgody laboratorium nie może być powielane inaczej niż w całości.

Wyniki przedstawione w niniejszym sprawozdaniu odnoszą się wyłącznie do badanego obiektu i do warunków i konfiguracji urządzeń w dniu wykonywania pomiarów.

W wyniku zastosowania sposobu sprawdzenia dotrzymania dopuszczalnych poziomów pól elektromagnetycznych w środowisku, zgodnie pkt 25 ppkt 1 Rozporządzenia Ministra Klimatu z dnia 17 lutego 2020 r. (Dz. U. 2022, poz. 2630), w związku z tym, że żadna z wartości wskaźnikowych, udokumentowanych w tabelach w pkt. 9 nie przekracza wartości 1, stwierdza się, że w miejscach, w których wykonano pomiary w otoczeniu instalacji radiokomunikacyjnej 9489 (31682N!) JAWISZOWICE (KBI_BRZESZCZE_JAWISZOWICE), dopuszczalne poziomy pól elektromagnetycznych w środowisku należy uznać za dotrzymane.

Miejsca niedostępne podczas wykonywania pomiarów wskazane zostały w pkt. 9 (Wyniki pomiarów) lub na załączniku przedstawiającym usytuowanie pionów pomiarowych.

11. Podstawa prawna

- 1) Ustawa z dnia 27 kwietnia 2001 r. Prawo ochrony środowiska (T. j. Dz. U. z 2025 r., poz. 647 z późn. zm.)
- 2) Rozporządzenie Ministra Zdrowia z dnia 17 grudnia 2019 r. w sprawie dopuszczalnych poziomów pól elektromagnetycznych w środowisku (Dz. U. 2019, poz. 2448)
- 3) Rozporządzenie Ministra Klimatu z dnia 17 lutego 2020 r. w sprawie sposobów sprawdzania dotrzymania dopuszczalnych poziomów pól elektromagnetycznych w środowisku (Dz. U. 2022, poz. 2630),
- 4) Akredytacja nr AB 419 wydana przez Polskie Centrum Akredytacji (wydanie 24, z dnia 14 stycznia 2026 r.)

12. Spis załączników

- Załącznik 1. Lokalizacja obiektu badań
- Załącznik 2. Usytuowanie pionów (punktów) pomiarowych
- Załącznik 3. Dokumentacja fotograficzna obiektu badań

13. Data wydania i autoryzowania sprawozdania

Obliczenia i sprawozdanie wykonał :

Sprawozdanie autoryzował:

**BARBARA
STELMASZYK**

Elektronicznie podpisany
przez BARBARA STELMASZYK
Data: 2026.05.14 20:15:22
+02'00'

Koniec sprawozdania



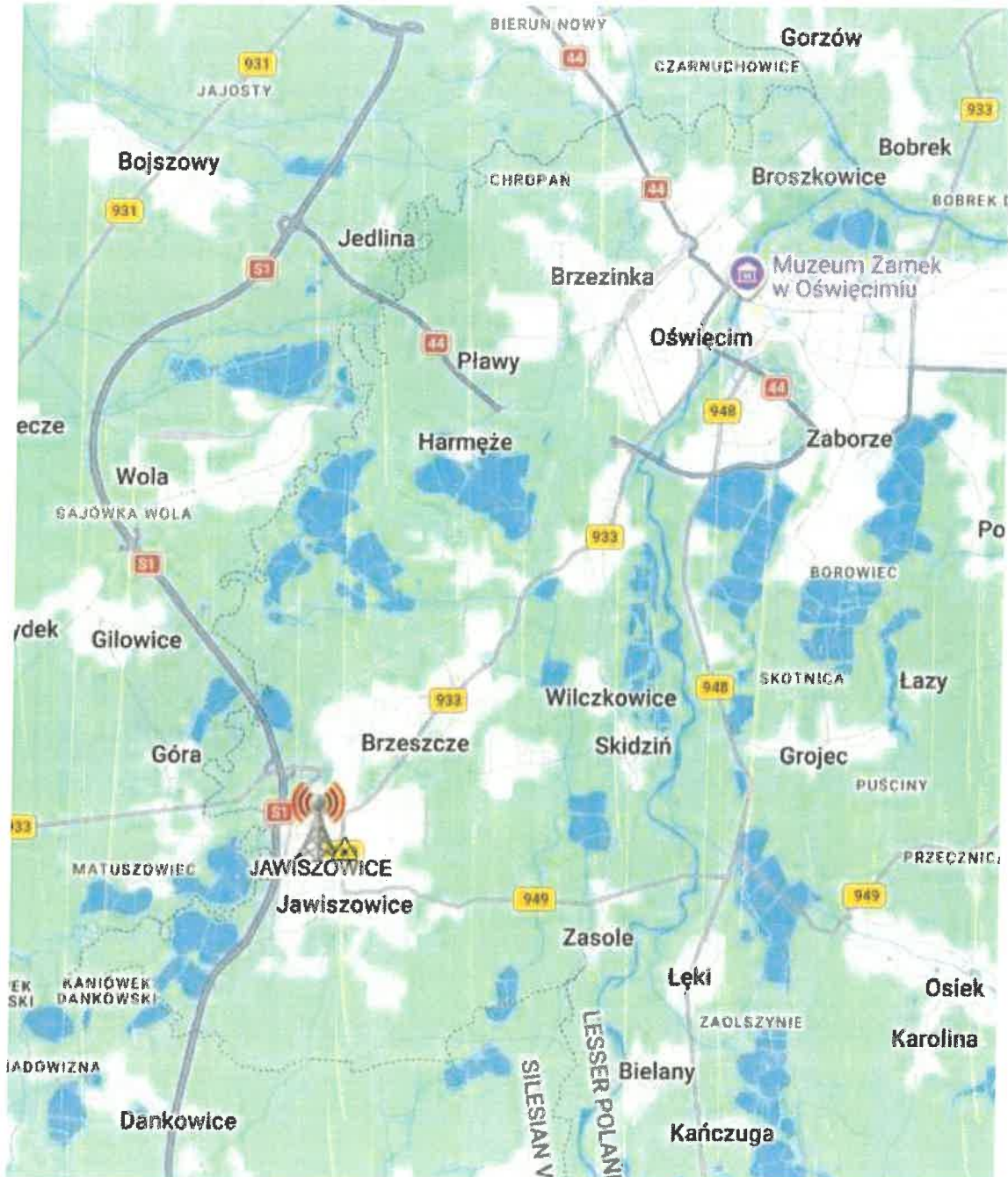
Signed by /
Podpisano przez:

Angelika
Okoniewska

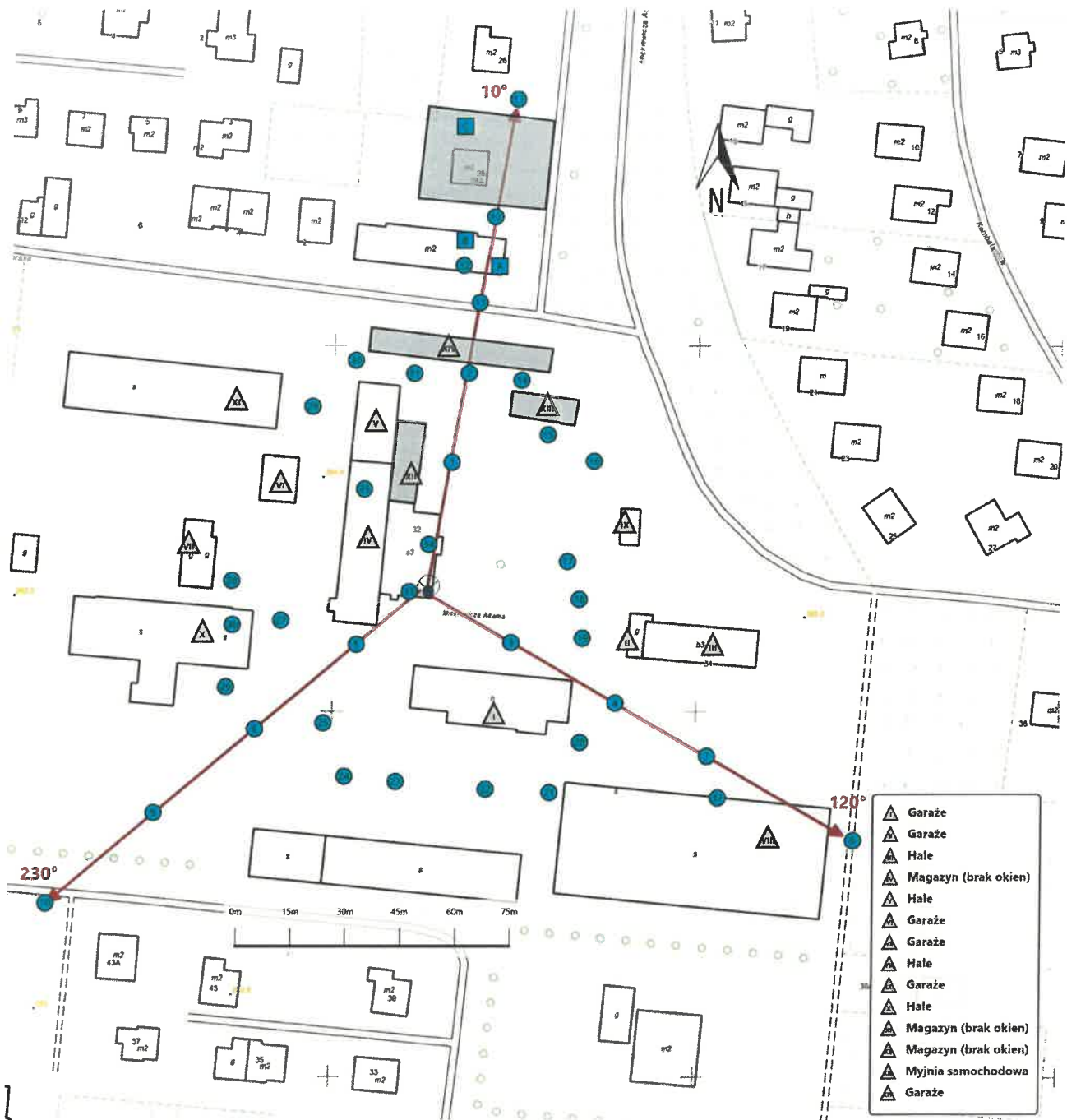
Date / Data: 2026-
05-15 10:12






Sprawozdanie z badań bez pisemnej zgody laboratorium nie może być powielane inaczej niż w całości.

Wyniki przedstawione w niniejszym sprawozdaniu odnoszą się wyłącznie do badanego obiektu i do warunków i konfiguracji urządzeń w dniu wykonywania pomiarów.



| | |
|----------------|--|
| Załącznik nr 1 | Instalacja radiokomunikacyjna Orange Polska S.A. 9489 (31682N!) JAWISZOWICE (KBI_BRZESZCZE_JAWISZOWICE) Lokalizacja instalacji |
|----------------|--|



| | |
|------------------------------|--|
| <p>Załącznik nr 2</p> | <p style="text-align: center;">Instalacja radiokomunikacyjna Orange Polska S.A. KBI_BRZESZCZE_JAWISZOWICE (31682N!) Usytuowanie pionów pomiarowych w otoczeniu instalacji radiokomunikacyjnej</p> |
| | <p>Legenda:</p> <p>  Źródło pola elektromagnetycznego  Brak dostępu  Pion pomiarowy  Kierunek oddziaływania anten sektorowych  Kierunek oddziaływania anten radioliniowych </p> |



| | |
|----------------|---|
| Załącznik nr 3 | Instalacja radiokomunikacyjna Orange Polska S.A. 9489 (31682N) JAWISZOWICE (KBI_BRZESZCZE_JAWISZOWICE) Dokumentacja fotograficzna |
|----------------|---|